

## УСЛОВИЯ ПЕРЕХОДА В СВЕРХПРОВОДЯЩЕЕ СОСТОЯНИЕ СИСТЕМЫ YREBaCuO (RE = Pr, Nd)

© В.А. Волошин, И.С. Абалешева, Г.Ю. Бочкова, Ф.А. Бойко,  
Н.А. Дорошенко, Я.И. Южелевский

Донецкий физико-технический институт Академии наук Украины,  
34014 Донецк, Украина  
(Поступила в Редакцию 5 марта 1994 г.)

В окончательной редакции 25 октября 1995 г.)

Дано математическое описание температурных зависимостей сопротивления образцов системы YREBaCuO (RE = Pr, Nd). Высказано предположение, что для такой системы переходу в сверхпроводящее состояние предшествует переход полупроводник-металл. Показано, что при этом металлическое состояние характеризуется нулевым остаточным сопротивлением, что говорит о формировании в кристалле при переходе полупроводник-металл практически бездефектной проводящей области.

Система YREBaCuO является сверхпроводящей. Однако частичная замена Y на RE (RE = Nd, Pr) и Ba на RE приводит к определенному (для каждой концентрации) снижению температуры перехода в сверхпроводящее состояние  $T_c$ . В настоящей работе находится зависимость, описывающая наблюдаемый температурный ход электрического сопротивления, и минимальное число подгоночных параметров, определяющих переход в сверхпроводящее состояние образцов с самой различной концентрацией примесных ионов.

Для образцов рассматриваемой системы температурный ход сопротивления при высокой температуре имеет металлический характер, т.е. подчиняется уравнению

$$\rho(T) = \rho_0 + \alpha T, \quad (1)$$

где  $\rho_0$  — остаточное сопротивление в  $m\Omega \cdot \text{см}$ ,  $\alpha$  — коэффициент в  $m\Omega \cdot \text{см}/\text{К}$ .

При понижении температуры для образцов с достаточно большой концентрацией указанных редкоземельных ионов тип зависимости изменяется на полупроводниковый, причем характер роста сопротивления близок к экспоненциальному закону  $\exp(\Delta E/kT)$ . Это может быть объяснено рядом причин, в частности наличием потенциальных ям (ловушек) с глубиной, характеризуемой энергией  $\Delta E$  (в  $\text{см}^{-1}$ ). При дальнейшем понижении температуры экспоненциальный рост прекращается, и происходит резкое понижение сопротивления вплоть до нуля.

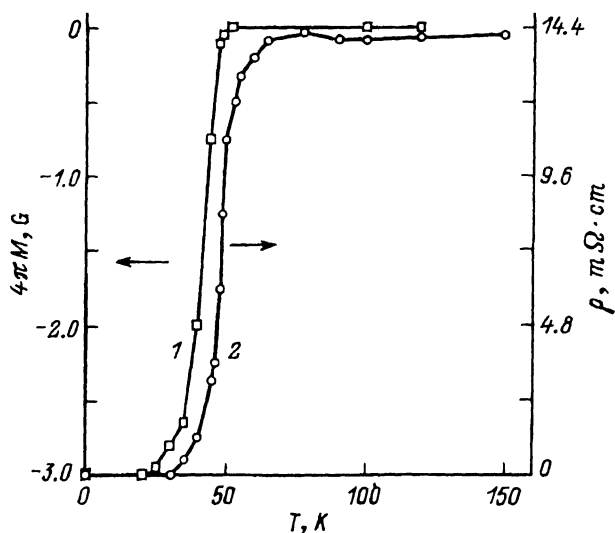


Рис. 1. Сравнение температурных зависимостей эффекта Мейсснера (1) и удельного сопротивления (2)  $\text{Y}_{1-x}\text{Pr}_x\text{Ba}_2\text{Cu}_3\text{O}_7$  (по данным [1])

Здесь сделаем замечание, важное для дальнейшего обсуждения. Результаты экспериментов по одновременному исследованию эффекта Мейсснера и электрического сопротивления (например, приведенные на рис. 1 [1] и табл. 1 [2]) позволяют высказать гипотезу о том, что для подобных систем переход в сверхпроводящее состояние предшествует переход полупроводник–металл. Для того чтобы это произошло, необходимо, чтобы ловушки нейтрализовались, причем именно при температуре, очень близкой к  $T_c$ . Поэтому для описания температурной зависимости сопротивления в нормальном состоянии для исследуемых

Таблица 1

Сопоставление данных о температуре сверхпроводящего перехода системы  $\text{Y}_{1-x}\text{Pr}_x\text{Ba}_2\text{Cu}_3\text{O}_7$ , полученных на основании магнитных ( $M$ ) и резисторных ( $R$ ) измерений

$x$	$T_c(R)$	$T_c(M)$
0.2	75.5	74.6
0.3	60.5	59.5
0.4	74.0	44.2
0.5	32.7	—

П р и м е ч а н и е. Если принять гипотезу настоящей статьи, то  $T_c(R)$  следует считать температурой перехода полупроводник–металл, а  $T_c(M)$  — температурой истинного сверхпроводящего перехода. Приведенные цифры наиболее вероятны, по мнению авторов [2]. Однако ошибка в определении  $T_c(M)$  такова, что она перекрывает разницу  $T_c(R)-T_c(M)$ . Поэтому и после появления работы [2] предлагаемую гипотезу нельзя считать доказанной.

систем предлагается формула

$$\rho(T) = \frac{\rho_0 + \alpha T}{1 - n[1 - \exp(-\Delta E/kT)]}, \quad (2)$$

где  $n$  — отношение числа ловушек к числу носителей (дырок). Предполагается, что число ловушек меньше числа носителей, т.е.  $0 < n < 1$ , что ловушка, в которую попала дырка, нейтрализуется. В согласии с предлагаемой гипотезой при подгонке расчета к эксперименту величина  $n$  должна быть такой, чтобы ловушки были нейтрализованы при температуре, близкой к  $T_c$ , и дальнейшее изменение сопротивления имело металлический характер.

Второе допущение, принятое при подгонке расчета к эксперименту, заключалось в том, что глубина ловушек остается постоянной независимо от концентрации RE. Требование  $\Delta E = \text{const}$  приводит к тому, что фактически параметр  $\Delta E$  не является подгоночным для достаточно большой серии образцов с различной концентрацией.

Керамические образцы  $Y_{1-x}Pr_xBa_2Cu_3O_7$  ( $x = 0, 0.16, 0.32, 0.48, 0.7$ ) были синтезированы из смеси окислов Pr, Y, Cu и нитрата бария по стандартной технологии. Из полученных затем таблеток были вырезаны образцы размером  $10 \times 2 \times 0.5$  mm, сопротивление которых измерялось обычной четырехконтактной методикой в интервале температур 4.2–300 K.

Анализировались также данные работы [3], т.е. температурный ход сопротивления образцов  $Nd(Ba_{1-x}Nd_x)_2Cu_3O_7$  ( $x = 0.2, 0.25$ ).

Расчет гипотетического перехода полупроводник–металл при температурах, близких к  $T_c$ , и сравнение этого расчета с экспериментальными данными показаны на рис. 2, 3. Неожиданным результатом оказалось то, что необходимым условием выполнения предложенной гипотезы явилось равенство нулю параметра  $\rho_0$  для всех исследуемых образцов. Тем самым количество подгоночных параметров уменьшилось до двух:  $n$  и  $\alpha$ .

Физически этот результат можно объяснить следующим образом. В кристалле имеются отдельные, изолированные от короткодействующих влияний, достаточно протяженные бездефектные области. Кроме этого имеются удаленные области с резко повышенной (или пониженной) электронной плотностью, которые благодаря кулоновскому взаимодействию создают ловушки для носителей тока. По мере понижения температуры носителя, попадая в ловушки, «вымораживаются», и потенциальный рельеф сглаживается. Проводимость приобретает металлический характер. За бездефектные области, в которых осуществляется металлическая проводимость, можно принять плоскости  $Cu_2-02-03$ , как это делается, например, в [4], а за области с электронной плотностью, отклоняющейся от средней, — окрестности ионов Pr и Nd, замещающих ионы Ba. Подробно это будет разобрано в следующей статье.

На рис. 2, 3 приведены результаты расчета для образцов системы  $Nd(Ba_{1-x}Nd_x)_2Cu_3O_7$  при  $x = 0.25$  и для системы  $Y_{1-x}Pr_xBa_2Cu_3O_7$  при  $x = 0.48$ . Экспериментальные данные представлены точками. На обоих рисунках сплошные кривые рассчитывались по формуле (2) с параметрами, приведенными в табл. 2. Из этих рисунков видно, что при

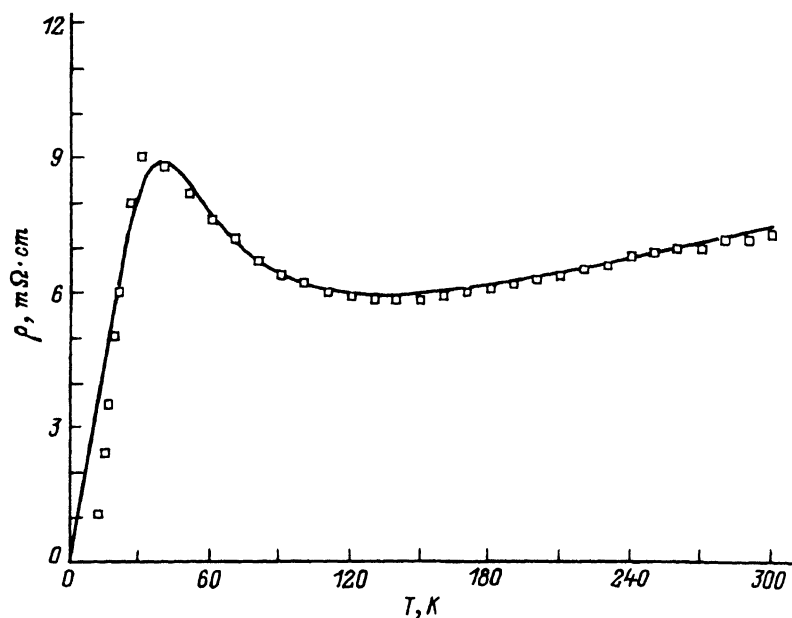


Рис. 2. Температурная зависимость удельного сопротивления  $\text{Nd}(\text{Ba}_{0.75}\text{Nd}_{0.25})_2\text{Cu}_3\text{O}_7$ .

Точки — экспериментальные данные. Сплошная кривая — расчет по уравнению (2). Подгоночные параметры приведены в табл. 2.

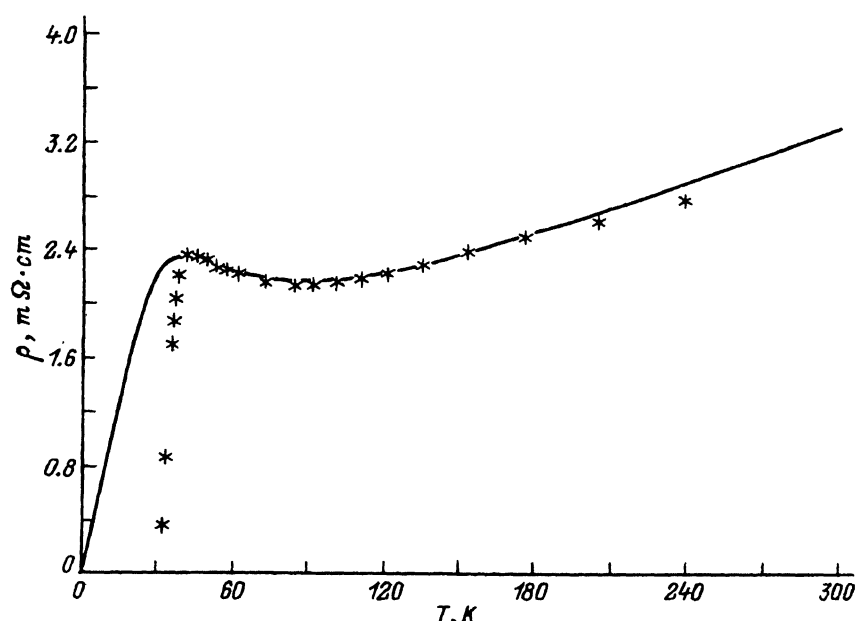


Рис. 3. Температурная зависимость удельного сопротивления  $\text{Y}_{0.52}\text{Pr}_{0.48}\text{Ba}_2\text{Cu}_3\text{O}_7$ .

Точки — экспериментальные данные. Сплошная кривая — расчет по уравнению (2). Подгоночные параметры приведены в табл. 2.

Таблица 2

Величины подгоночных параметров для систем  
 $Y_{1-x}Pr_xBa_2Cu_3O_7$  и  $Nd(Ba_{1-x}Nd_x)_2Cu_3O_7$

$x$	$n$	$\Delta E, \text{cm}^{-1}$	$T_c, \text{K}$	$\rho_0, \text{m}\Omega\cdot\text{cm}$	$\alpha, \text{m}\Omega\cdot\text{cm}/\text{K}$	Рисунок
$Y_{1-x}Pr_xBa_2Cu_3O_7$						
0.16	0.58	-85	77.5	0	0.0046	-
0.32	0.7	-85	57.5	0	0.0079	-
0.48	0.91	-85	35	0	0.0078	3
0.70	1.00	-17	-	28.00	0	4
$Nd(Ba_{1-x}Nd_x)_2Cu_3O_7$						
0.20	0.885	-105	32.3	0	0.096	-
0.25	0.9545	-105	9.9	0	0.0155	2

выбранном наборе параметров на этих кривых вблизи  $T_c$  наблюдается переход полупроводник–металл. Как оказалось, одновременное выполнение двух требований, приведенных выше, однозначно определяет указанный в табл. 2 набор параметров.

Аналогичные результаты получены и для других исследованных образцов (табл. 2).

В связи с приведенными рассуждениями возникает следующий вопрос. Известно, что у образцов с большим содержанием Pr ( $x > 0.5$ ) сверхпроводимость не наблюдается (рис. 4). Имеются ли в них идеально проводящие области? Другими словами, можно ли описать темпе-

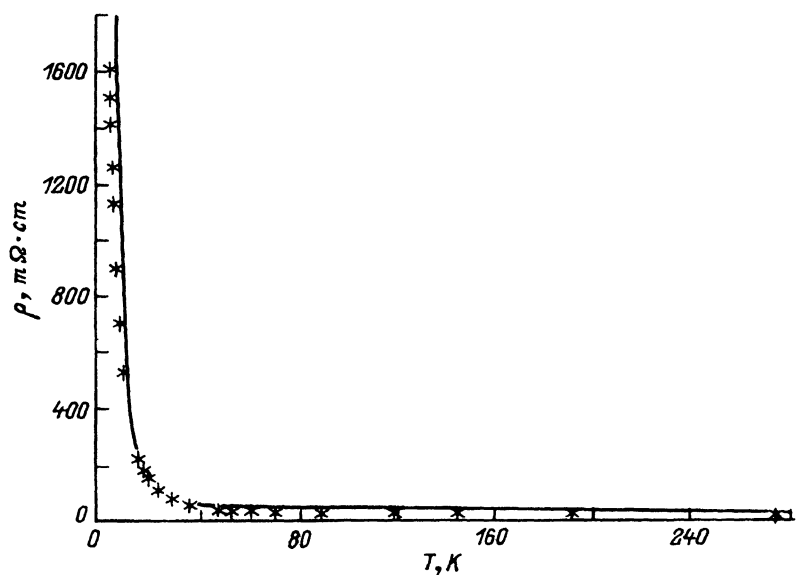


Рис. 4. Температурная зависимость удельного сопротивления  $Y_{0.3}Pr_{0.7}Ba_2Cu_3O_7$ . Точки — экспериментальные данные. Сплошная кривая — подгоночная по уравнению (2) с параметрами согласно табл. 2.

ратурную зависимость сопротивлению таких образцов в рамках принятой формулы при условии, что параметр  $\rho_0$  будет равен нулю?

Оказывается, что при таких больших концентрациях Рт бездефектных областей в образцах нет. Для согласия с экспериментом в выражении (2) необходимо положить  $n = 1$  и  $\rho_0 \gg 1$ .

Кроме того, необходимо сделать одно замечание. Система с празеодимом и система с неодимом очень различны. Подавление сверхпроводимости в системе с Рт начинается при очень низких концентрациях редкоземельного иона, сразу же как только ион Рт начинает замещать ион Y.

Подавления сверхпроводимости в системе с Nd не происходит даже при полной замене Y на Nd. Оно начинается только при более высоких концентрациях, когда ион Nd начинает замещать ион Ba. Между тем данные настоящей статьи свидетельствуют о следующем: 1) температурные зависимости сопротивления систем с Рт и Nd подобны; 2) математическая обработка результатов эксперимента приводит к выводам о том, что подавление сверхпроводимости в обоих случаях обусловлено наличием ловушек с примерно одинаковой глубиной ( $100 \text{ cm}^{-1}$ ); сверхпроводимость возникает только при условии  $\rho_0 = 0$ .

Таким образом, в настоящей работе никаких формальных различий в резистивных свойствах этих двух систем не обнаружено.

В заключение авторы благодарят Ю.Кузовлева за предоставленную возможность воспользоваться его великолепной программой «Graphical Calculator».

### Список литературы

- [1] Peng J.L., Klavins P., Shelton R.N., Radousky H.B., Hahn P.A., Bernardez L. Phys. Rev. **B40**, 7, 4517 (1989).
- [2] Soerensen C., Gydax S. Phys. Rev. **B51**, 17, 11848 (1995).
- [3] Van Woerden R.A.M., de Leeuw D.M. Physica **C165**, 221 (1990).
- [4] Сухаревский Б.Я. Тез. докл. VI научн сем «Физика магнитных явлений». Донецк (1993). С. 127.